

1.5.9. Satz (Zusammenfassung)

- 1). Der Schnitt von n Halbebenen kann in Zeit $O(n \log n)$ berechnet werden.
- 2). Falls die definierten Geraden nach Steigung sortiert gegeben sind, dann ist die Laufzeit $O(n)$.

1.5.10. Bemerkungen:

- 1) Die geometrische Transformation der Dualität wird auch noch für andere Probleme dieser Vorlesung wichtig sein.
- 2) Der Schnitt von n Halbebenen kann auch direkt berechnet werden.
→ Divide & Conquer.

1.5.11. Schnitt von Halbebenen durch Divide and Conquer

Schnitt von zwei konvexen Polygonen.

Hier abgeschlossen (offen → Übung, voriger Abschnitt)

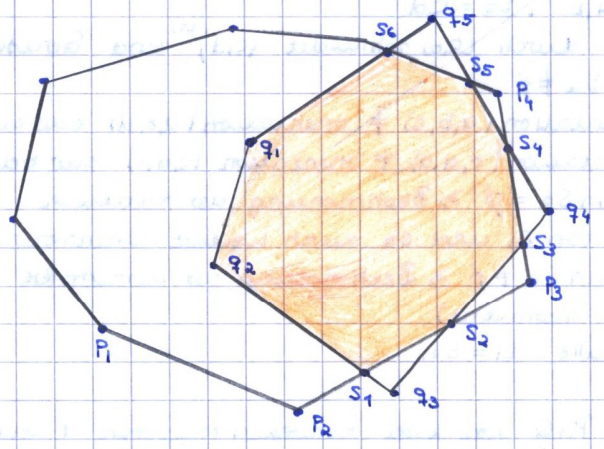
Geg: Seien $P = (p_1 \dots p_m)$, $Q = (q_1 \dots q_n)$ konvexe abgeschlossene Polygone, geg. durch Eckenfolge gg. den Uhrzeigersinn.

Ausgabe: Eckenfolge von $P \cap Q$ gegen Uhrzeigersinn.

1.5.11.1. Beispiel.

Mögliche Ausgabe:

$q_1 q_2 s_1 s_2 s_3 s_4 s_5 s_6$



1.5.11.2. Idee:

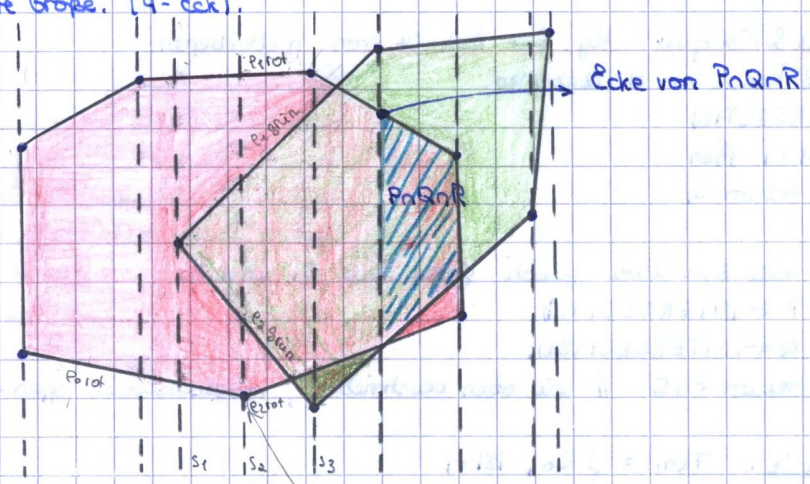
Zerlege Ebene in Regionen so, dass für jede Region R $(P \cap Q) \cap R$ einfach zu berechnen ist.

1.5.11.3. Regionen: vertikale Streifen.

Zeichne durch jede Ecke von P und Q eine senkrechte Gerade.

Jeweils zwei benachbarte Senkrechten definieren eine Region, nämlich den vertikalen Streifen dazwischen.

Dann ist für jeden Streifen R $R \cap P$ und $R \cap Q$ ein Trapezoid, d.h. haben konstante Größe. (4-Eck).



Es gilt $P \cap Q \cap R = (P \cap R) \cap (Q \cap R)$
wegen konst. Größe braucht Zeit $O(1)$

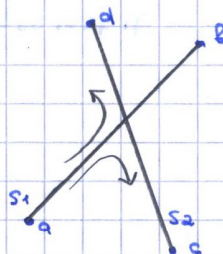
→ 1.5.11.4 Algorithmus:

- 1) Berechne Streifen von links nach rechts sortiert in Zeit $O(n)$, wobei $n = m + l$. Gesamtzahl der Ecken, durch Mischen der Eckenfolgen von P und Q. (siehe D&C für CH.)
- 2) Berechne für jeden Streifen R Trapezoid $P_n R$ und $Q_n R$. Das geht auch in $O(n)$, da wir Eckenfolgen (siehe 1) von links nach rechts sortiert haben.
- 3) Berechne für jeden Streifen R $P_n Q_n R := (P_n R) \cap (Q_n R)$ Zeit $O(l)$ pro Streifen.
- 4) Zusammen kleben der Teile aus 3) insbesondere Eliminierung von Ecken, die nicht zur Ausgabe gehören. Laufzeit: $O(n)$ (Durchlaufen der Senkrechten von links nach rechts).
→ Eckenfolge von $P \cap Q$ gg. Uhrzeigersinn.

→ 1.5.11.5 Implementierungsdetails:

Teilprobleme:

- Test ob Segment s_1 ein anderes schneidet.
 $s_1 = \overline{a,b}$, $s_2 = \overline{c,d}$
Gerade durch (a,b) schneidet (c,d) ⁽¹⁾ und Gerade durch (c,d) schneidet (a,b) ⁽²⁾
 $\Leftrightarrow s_1 \cap s_2 \neq \emptyset$
- (1) orientation $(a,b,c) \neq$ orientation (a,b,d) oder beide 0
- (2) orientation $(c,d,a) \neq$ orientation (c,d,b) oder beide 0.
- falls $s_1 \cap s_2 = \emptyset \Rightarrow$ Bestimmung der relativen Lage von s_1 und s_2 durch weitere Orientierungstests.
- falls $s_1 \cap s_2 \neq \emptyset \Rightarrow$ Bestimmung des Schnittpunktes (anal. Geometrie)
- Sonderfälle: $s_1 = s_2$.

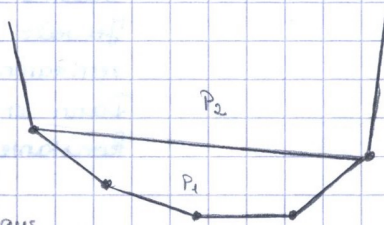


5.12 Satz: Der Schnitt $P \cap Q$ von zwei konvexen Polygonen P und Q kann in Zeit $O(n)$ berechnet werden, wobei $n =$ Summe der Ecken von P und Q.

Mischschritt

5.13 Fragen:

- 1) Geht das schneller, wenn alle Polygone im Voraus geg. sind, für die man evtl. Schnittoperationen ausführt.
- 2) Existiert Algorithmus, der output-sensitiv ist?
Dr. Laufzeit hängt von Größe der Ausgabe ab.
→ siehe nächster Abschnitt über konvexe Polygone.



5.14 Divide & Conquer - Alg für Schnitt von Halbebenen

Sei S Menge von Halbebenen.

INTERSECT(S)

if $|S| = 1$ then

return S;

else

teile S in zwei gleich große Teile S_1 und S_2 // 6 Geraden in $O(9) = O(1)$

$P \leftarrow$ INTERSECT(S_1);

$Q \leftarrow$ INTERSECT(S_2);

return $P \cap Q$ // wie oben beschrieben, möglicherweise offen → Übung.

Ein unbesch. Polygon besteht aus

- einem besch. Pol. P_1 und unbesch. Pol. $P_2 \Rightarrow P = P_1 \cup P_2$

Berechne $P_1 \cap Q_2$ mit D&C und Mischschritt von oben $\Rightarrow O(n \log n)$

Berechne $P_2 \cap Q_1$ und $P_1 \cap Q_2$ als Schnitt von Polygon mit drei Geraden in Zeit $3 \cdot O(n \log n) = O(n \log n)$. Anschließend berechne $P_2 \cap Q_2$ als Schnitt von

\Rightarrow Gesamtlaufzeit: $O(n \log n)$.

5.15 Laufzeit: $T(n) = \begin{cases} c_0, & |S| = 1 \\ c_1 n + 2 \cdot T(n/2), & |S| > 1 \end{cases}$

$\Rightarrow T(n) = O(n \log n)$

Alternative zu Dualitätsalgorithmus

5.16 Frage: Welcher Algorithmus ist in welchen Fällen schneller? Wahrscheinlich Divide & Conquer

Kapitel II: Konvexe Polygone

2.1. Einführung:

2.1.1. Ziel: Datenstruktur für konvexe Polygone, die verschiedene Operationen effizient unterstützt. → Hierarchische Darstellung.

2.1.2. Idee: Investiere Zeit und Platz $O(n)$ in Aufbau dieser Struktur, um nachfolgende Operationen billig zu machen.

↳ lohnt sich nur, wenn mit demselben Polygon viele Operationen durchgeführt werden.

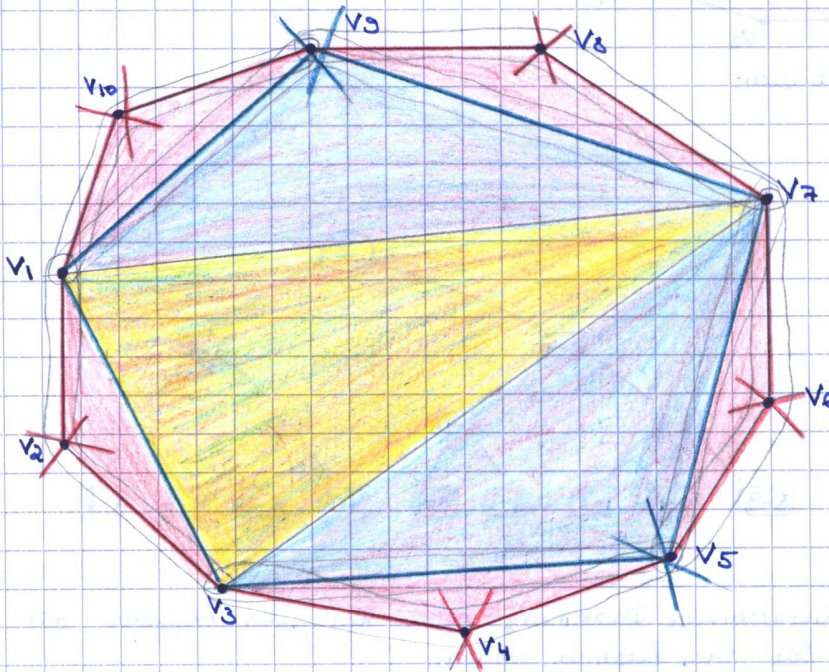
Hierarchische Darstellung: Konstruiere Folge von Teilpolygone, die das Polygon immer genauer beschreiben.

2.1.3. Def: Sei P konvexes Polygon mit n Ecken $v_1 \dots v_n$.

Eine Folge P_0, P_1, \dots, P_k von konvexen Polygonen heißt (innere) Hierarchische Darstellung von P , wenn gilt:

- 1) P_0 hat ≤ 4 Ecken
- 2) $P_k = P$, $P_i \neq P_{i+1} \forall i \in \{0, \dots, k\}$
- 3) Jede Ecke von P_i ist Ecke von P_{i+1} und von vier aufeinanderfolgenden Ecken von P_{i+1} ist mindestens eine und höchstens drei von P_i . (für $0 \leq i \leq k$).

2.1.4. Beispiel:



$P = v_1 \dots v_{10} = P_2$
 $P_1 = v_1 v_3 v_5 v_7 v_9$
 $P_0 = v_1 v_3 v_7$
 $\Rightarrow \{P_i\}_{i=0}^2$ ist die hierarchische Darstellung von P .

Bea: P_0 kann auch $v_1 v_3$ sein.
 Dann wäre die Darstellung bzgl der Hierarchie noch tiefer.
 $P_k = P_2, |P_2| = 10$
 $|P_{k-1}| = |P_1| = 5$

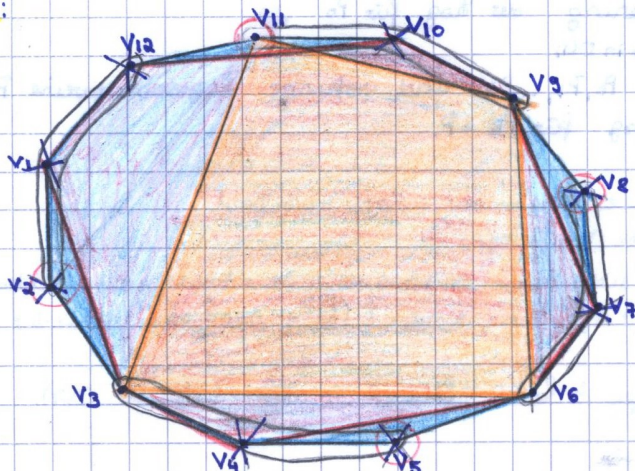
2.1.5. Bemerkung: P_{i-1} entsteht also aus P_i durch Entfernen einiger Ecken.

- von jeweils drei aufeinanderfolgenden Ecken von P_i wird mindestens eine entfernt.
- es werden nie vier aufeinanderfolgende entfernt.

2.1.6. Eigenschaften:

- 1) Beim Übergang von $P_{i+1} \rightarrow P_i$ verlieren wir mindestens einen konstanten Bruchteil der Ecken ($\frac{1}{3}$)
- 2) P_{i+1} ist ähnlich zu P_i , da wir nie mehr als drei aufeinanderfolgende Ecken entfernen.

2.1.7. Beispiel:

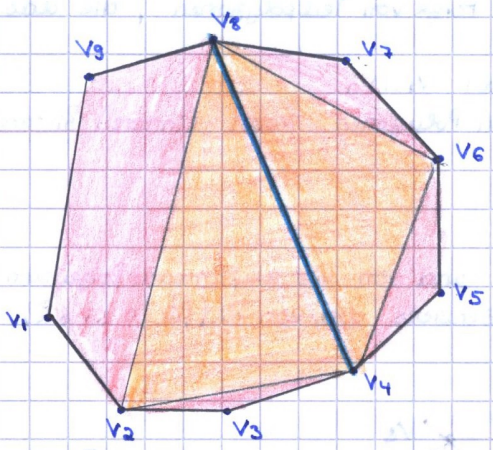


blau: $P_0, |P_0| = 12$
 rot: P_{k-1} : es werden möglichst wenig Ecken entfernt.
 $|P_{k-1}| = 8$
 $P_k \rightarrow P_{k-1}$ werden $\frac{1}{3} \cdot |P_k| = \frac{1}{3} \cdot 12 = 4$ entfernt!
 orange: P_{k-1} : es werden möglichst viele Ecken entfernt.
 $|P_{k-1}| = 4$
 $P_k \rightarrow P_{k-1}$ werden 8 Ecken entfernt!

2.1.8 Alternative Darstellung beim Zeichnen:
 balancierte Baum über Kanten von P_i ($0 \leq i \leq n$).
 (muß kein binärer Baum sein).

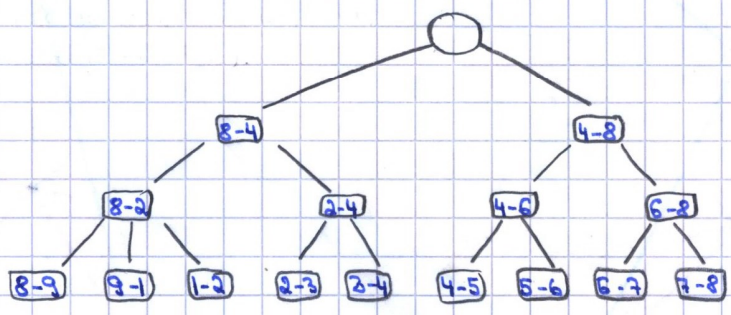
2.1.9 Beispiel:

1) wie vorher:



- █ $P_0 = v_4 v_8$, $|P_0| = 2$
- █ $P_1 = v_8 v_2 v_4 v_6$, $|P_1| = 4$
- █ $P_2 = P = v_1 \dots v_9$, $|P| = 9$.

2) durch balancierten Baum:



2.1.10 Lemma: Könnte man ZS mit ähnlichem Alg wie bei Triangulierungsmethode machen.

- 1) Eine balancierte hierarchische Darstellung eines konvexen Polygons mit n Ecken kann in Zeit $O(n)$ berechnet werden.
- 2) benötigt Speicherplatz $O(n)$
- 3) die Tiefe k dieser Darstellung ist $O(\log n)$

Bew: Alle Teile folgen unmittelbar aus 2.1.6. i). bzw. Baumdarstellung.

Zu 2) von $P_i \rightarrow P_{i+1}$ verlieren mind $\frac{1}{3}$ der Knoten

$$\Rightarrow \# \text{Knoten} \leq n + \frac{2}{3}n + \frac{2}{3}\left(\frac{2}{3}n\right) + \dots = n \left(1 + \frac{2}{3} + \left(\frac{2}{3}\right)^2 + \dots\right) = n \cdot \sum_{v=0}^{\infty} \left(\frac{2}{3}\right)^v \leq n \cdot \sum_{v=0}^{\infty} \left(\frac{1}{3}\right)^v =$$

$$= n \cdot \frac{\left(\frac{1}{3}\right)^{n+1} - 1}{\frac{1}{3} - 1} = n \cdot \frac{\left(\frac{1}{3}\right)^{n+1} - 1}{-\frac{2}{3}} = n \cdot \frac{1 - \left(\frac{1}{3}\right)^{n+1}}{\frac{2}{3}} = n \cdot \frac{3}{2} \cdot \left(1 - \left(\frac{1}{3}\right)^{n+1}\right) \leq 3 \cdot n = O(n)$$

2. Anwendungen der hierarchischen Darstellung.

verwenden immer dieselbe Strategie:

2.2.1 Strategie:

- 1) Wir berechnen eine Annäherung der \log für P_0
 Da P_0 maximal 4 Ecken \Rightarrow in $O(1)$
- 2) Dann durchlaufe die Folge P_0, P_1, \dots, P_k und verbessere \log schrittweise $P_i \rightarrow P_{i+1}$.
- 3) Am Ende haben wir die \log für $P_k = P$.

2.1.10 3) Höhe $(T) \leq$ Höhe (\tilde{T}) , wobei \tilde{T} binärer Baum mit entspr. Hiera. Darst.
 $= O(\log n) \Rightarrow$ Höhe $(T) = O(\log n)$

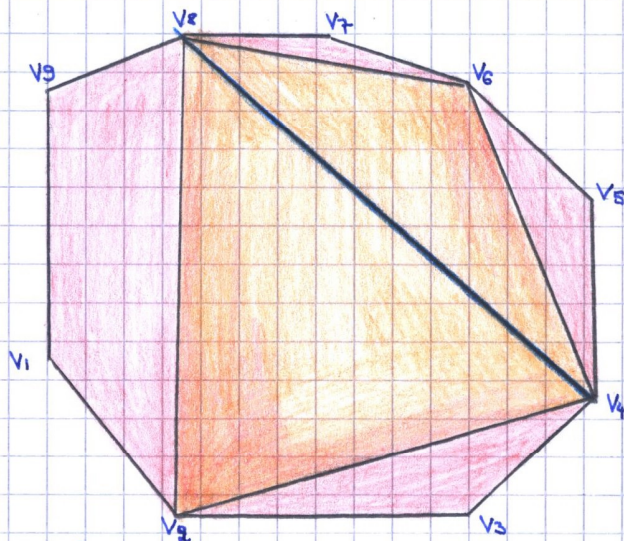
2.1.10 1) Sei $c_1 :=$ Arbeit, um einen Knoten in den Baum zu schreiben, $c_2 :=$ Arbeit, um einen Knoten zu streichen
 \Rightarrow Arbeit $\leq c_1 \cdot n + c_2 \cdot \frac{1}{3}n + c_1 \cdot \frac{2}{3}n + c_2 \cdot \left(\frac{2}{3}\right)^2 n + c_1 \cdot \left(\frac{2}{3}\right)^3 n + \dots \leq n \cdot c_1 \cdot \sum_{v=0}^{\infty} \left(\frac{2}{3}\right)^v + c_2 \cdot n \cdot \sum_{v=0}^{\infty} \left(\frac{1}{3}\right)^v \leq 3c_1 \cdot n + \frac{2}{3} \cdot c_2 \cdot n = O(n)$

Aus Listen dann in Baum einfügen \Rightarrow kostet # Element in allen Listen $\Rightarrow O(n)$.

2.1.8. Alternative Darstellung:

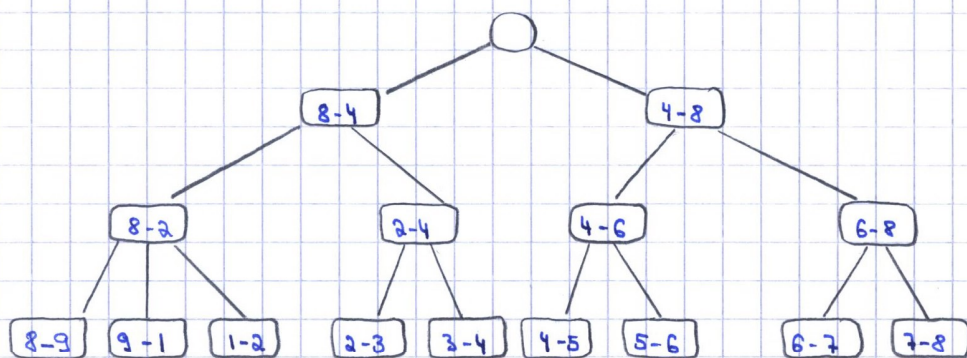
→ balanciertes Baum über Kanten von P_i ($0 \leq i \leq n$)
(muss kein binärer Baum sein.)

2.1.9. Beispiel:



- $P_0 = \{v_4, v_8\}$, $|P_0| = 2$ ▶
- $P_1 = \{v_2, v_4, v_6, v_8\}$, $|P_1| = 4$ ▶
- $P_2 = \{v_1, \dots, v_3\}$, $|P_2| = 3$ ▶

Darstellung durch einen balancierten Baum:



2.1.10. Lemma:

- 1) Eine balancierte hierarchische Darstellung eines konvexen Polygons mit n Ecken kann in Zeit $O(n)$ berechnet werden.
- 2) Benötigte Speicherplatz $O(n)$
- 3) die Tiefe k dieser Darstellung ist $O(\log n)$.

Beweis: Alle Teile folgen unmittelbar aus 2.1.6 i) bzw. Baumdarstellung.

Beweis:

zu 1):

→ könnte man z.B. mit ähnlichem Alg. wie bei der Triangulierungsmethode machen

$$\begin{aligned}
 & c \cdot n + c \cdot \left(\frac{2}{3}\right) \cdot n + c \cdot \left(\frac{2}{3}\right)^2 \cdot n + \dots = \\
 & = c \cdot n \cdot \sum_{v=0}^{\log n} \left(\frac{2}{3}\right)^v \leq c \cdot n \cdot \sum_{v=0}^{\infty} \left(\frac{2}{3}\right)^v = c \cdot n \cdot \frac{1 - \left(\frac{2}{3}\right)^{n+1}}{1 - \frac{2}{3}} = \\
 & = c \cdot n \cdot 3 \cdot \left(1 - \underbrace{\left(\frac{2}{3}\right)^{n+1}}_{\xrightarrow{n \rightarrow \infty} 0}\right) \leq \underbrace{M}_{\text{const}} \cdot n = O(n).
 \end{aligned}$$

zu 2):

$$\# \text{Knoten} = O(n)$$

zu 3): $\text{Höhe}(\tilde{T}) \leq \text{Höhe}(\tilde{T})$, wobei \tilde{T} binärer Baum
 $= O(\log n)$.

2.2 Anwendung der Rucksackischen Darstellung:

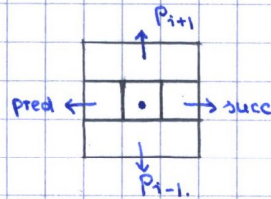
→ verwenden immer dieselbe Strategie:

2.2.1 Strategie:

- 1) Wir berechnen eine Annäherung der Lösung für P_0 .
Da P_0 maximal vier Ecken \Rightarrow in $O(1)$.
- 2) Dann durchlaufe die Folge P_0, P_1, \dots, P_k und verfeinere die Lösung schrittweise $P_i \rightarrow P_{i+1}$.
- 3) Am Ende haben wir die Lsg für $P_k = P$.

2.2.2 Darstellung im Rechner:

- $P_i, 0 \leq i \leq k$ als doppelt verkettete Liste der Ecken und jede Ecke von P_i zeigt zusätzlich auf ihre Kopie in P_{i+1} und umgekehrt.

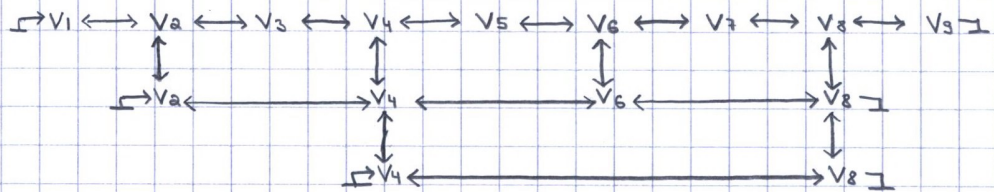


- explizite Speicherung des Kantenbaumes
→ Dynamisierung (Ecken einfügen / löschen)
(wie bei Suchbäumen).

2.2.3 Beispiel:

Sei P gegeben wie in 2.1.9.

⇒



2.2.4 Anwendung: Schnitt mit einer Geraden:

2.2.4.1 Ziel:

Geg: Hierarchische Darstellung P_0, \dots, P_k eines konvexen Polygons P und eine Gerade g

Ausgabe: $P \cap g$

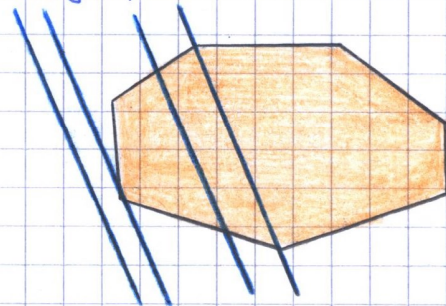
Konvexität $\Rightarrow P \cap g =$ Strecke (wenn nicht leer und Ecke)

\Rightarrow Es genügt Schnittpkte a, b mit den Randsegmenten zu berechnen.

Fälle: 1) $a \neq b$ (allg. Fall, Ecken möglich)

2) $a = b$ (eine Ecke)

3) ex. nicht! $P \cap g = \emptyset$.



2.2.4.2 Idee für Algorithmus:

1) Schnittpkt mit P_0 :

2 Fälle: a) $P_0 \cap g = \emptyset$

b) $P_0 \cap g \neq \emptyset$

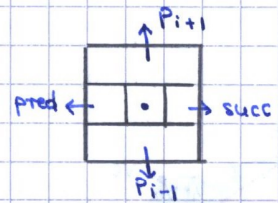
Im Fall b) \rightarrow STOP

Im Fall a):

sei $q_0 \in P_0$ mit minimalen Abstand zu g .

2.2.2. Darstellung im Rechner:

- $P_i, 0 \leq i \leq R$ als doppelt verkettete Liste der Ecken + jede Ecke von P_i zeigt zusätzlich auf ihre Kopie in P_{i+1} und umgekehrt

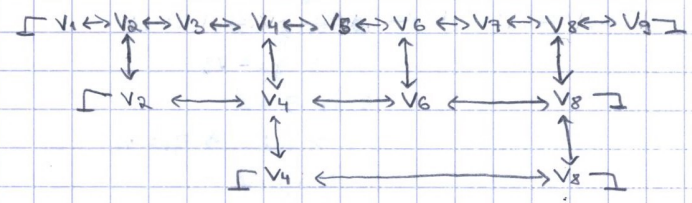
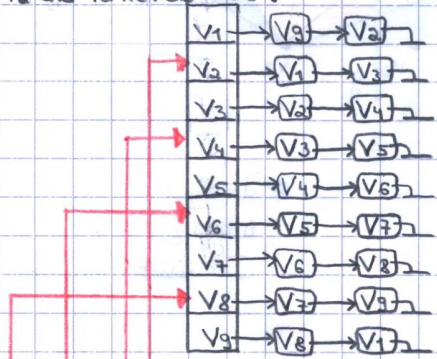


- explizite Speicherung des Kantenbaumes
→ Dynamisierung (Ecken einfügen / löschen)
(wie bei Suchbäumen)

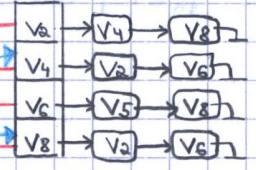
2.2.3 Beispiel:

Sei P gegeben wie in 2.1.9.

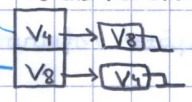
P_0 als verkettete Liste:



P_i als verkettete Liste:



P_0 als verkettete Liste:



2.2.4. Anwendung: Schnitt mit einer Geraden:

→ 2.2.4.1. Ziel:

Geg: Hierarchische Darstellung $P_0 \dots P_R$ eines konvexen Polygons P und eine Gerade g .

Ausgabe: $P \cap g$

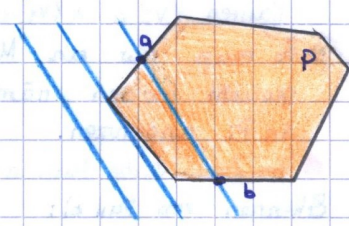
Konvexität $\Rightarrow P \cap g =$ Strecke

\Rightarrow Es genügt Schnittpkte a, b mit den Randsegmenten zu berechnen.

Fälle: 1) $a \neq b$ (allg. Fall, Ecken möglich)

2) $a = b$ (eine Ecke)

3) ex. nicht!, Schnitt = \emptyset



2.2.4.2. Idee für Algorithmus:

1) Schnittst mit P_0 :

2 Fälle: a) $P_0 \cap g = \emptyset$

konst. Operationen, weil $|P_0| \leq 4$

b) $P_0 \cap g \neq \emptyset$

Ann: wir haben Fall a)

\Rightarrow sei $g_0 \in P_0$ mit minimalen Abstand zu g

Im Fall b \rightarrow STOP

d) Durchlaufe die hierarchische Darstellung P_1, P_2, \dots und finde entweder:

a) $q_i \in P_i$ mit minimalen Abstand, falls $P_i \cap g = \emptyset$
oder

b) Schnittpkte a_i, b_i von P_i mit g .

Im Fall b) \rightarrow STOP.

Bsp: $P = V_1 \dots V_9 = P_2$

$P_1 = V_1 V_3 V_8 V_7 V_9$

$P_0 = V_2 V_7 V_9$

Im Alg:

1) $P_0 \cap g = \emptyset$

$\Rightarrow q_0 = V_9$

2) $P_1 \cap g \neq \emptyset$

\Rightarrow Fall b) \rightarrow finde a_1, b_1
STOP

Im Alg:

1) $P_0 \cap g = \emptyset$

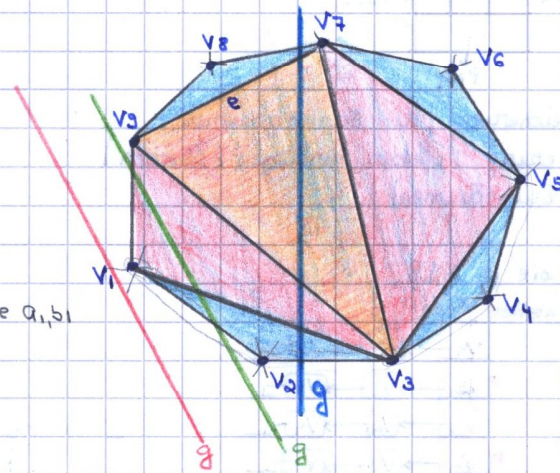
$\Rightarrow q_0 = V_9$

2) $P_1 \cap g = \emptyset$

\Rightarrow Teil a) $\Rightarrow q_1 = V_1$

$P_2 \cap g = \emptyset$

\Rightarrow Teil a) $\Rightarrow q_2 = V_1$.



Im Alg:

1) $P_0 \cap g \neq \emptyset$

\Rightarrow STOP

Zwei mögliche Ausgänge: (wenn $i = k$)

a) $P_k \cap g = P_n \cap g = \emptyset$ und wir kennen Ecke $q_k \in P$, die g am nächsten

b) $P_i \cap g = (a_i, b_i)$ für $0 \leq i \leq k$

Im Bsp:

\rightarrow Ausgang b) $\Rightarrow P_i \cap g = (a_i, b_i)$ für $i = 1$.

\rightarrow Ausgang a) $\Rightarrow P_n \cap g = \emptyset$, $q_2 = V_1 \in P$.

\rightarrow Ausgang b) $\Rightarrow P_0 \cap g = (a_0, b_0)$ für $i = 0$.

Ausgang a) \Rightarrow fertig, $P \cap g = \emptyset$

Ausgang b) \Rightarrow Wir müssen Schnittpkte (a_i, b_i) später verfeinern bis (a_k, b_k) } Phase 2.
gefunden.

Nun: Übergang von $q_i \rightarrow q_{i+1}$ (Fall a) bzw. Test, ob Fall b) gilt.

\rightarrow 2.2.4.3 Laufzeit:

Phase 1: Kandidaten für nächsten Pkt q_{i+1} sind schon genau die Ecken von P_{i+1}

die Verfeinerungen der Nachbarkanten von q_i in P_i

Das folgt unmittelbar aus der Konvexität.

Im Bsp: $i = 0$, $q_0 = V_9$, Kand. für q_1 ist Ecke von P_1 nämlich V_1

Dies ist die Ecke der Verfeinerungen der Nachbarkanten von $q_0 = V_9$, nämlich der Kanten $(V_9, V_1) \wedge (V_1, V_3)$

\Rightarrow Es muß nur ein Minimum in einer konstanten Zahl von Kandidaten gesucht werden, nämlich in den Verfeinerungen der Kanten, die an q_i in P_i angrenzen.

Im Bsp: Suche Min. in $(V_9, V_1), (V_1, V_3)$

Erkennen von Fall b):

Teste in der Kandidatenmenge, ob ein Pkt auf der anderen Seite von g liegt. (Orientierung)

$\Rightarrow (a_{i+1}, b_{i+1})$ in konst. Zeit denn konst viele Kand

(Schnittberechnung mit Verfeinerungskanten).

Im Bsp: $i = 0$, $q_0 = V_9 \Rightarrow$ Kandidatenmenge: (V_9, V_1) und (V_1, V_3)

V_1 liegt auf der anderen Seite von g , denn $\text{orient}(V_9, V_1, g) \geq 0$

\Rightarrow Teil b) erkannt

(bea: $\text{orient}(V_9, V_3, g) \leq 0$)

- Laufzeit:
- $O(1)$ pro Hierarchiestufe
 - haben nur $O(\log n)$ Stufen
- $\Rightarrow O(\log n)$ für die erste Phase.

Nach Phase 1 haben wir zwei Fälle:

Fall a) \Rightarrow fertig.

Fall b) \Rightarrow machen weiter zu Phase 2.

Phase 2: Geg: $\{a_i, b_i\} = \text{Ping}$ für $i < k$ (sonst fertig) und es sind keine Ecken (sonst ebenfalls fertig).

Betrachte a_i (b_i analog):

a_{i+1} muss Schnittpunkt sein mit einer Verfeinerungskante von e , wobei $a_i = e \cap g$

Im Bsp: Betrachte $a_0, i=0 < 2$

a_1 ist Schnittpunkt mit Verfeinerungskante von e , wobei $a_0 = e \cap g$ und der Geraden g .

Die Verfeinerungskanten von e sind (v_1, v_2) und (v_3, v_4)

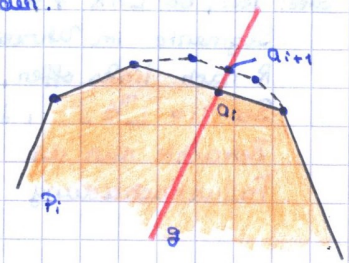
$\Rightarrow a_{i+1}$ kann in Zeit $O(1)$ aus a_i berechnet werden.

(b_{i+1} analog aus b_i).

Wiel # Verf. kanten konst. Genauus ≤ 4 .

\Rightarrow Laufzeit von Phase 2 auch $O(\log n)$.

\Rightarrow Gesamte Laufzeit also $O(\log n)$!



2.2.5 Satz: Für ein konvexes Polygon P kann:

1) die hierarchische Darstellung in Zeit $O(n)$

aufgebaut werden.

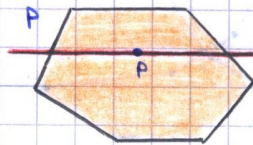
2) Braucht Platz $O(n)$

3) für beliebige Gerade g kann $P \cap g$ mit Hilfe der hierarchischen Darstellung in Zeit $O(\log n)$ berechnet werden.

2.2.6 Bem.

1) Teil 3) \Rightarrow Alternativer $\log n$ -Alg. zum Test, ob $P \cap g \neq \emptyset$ ist.

Idee:



$p \in P \Leftrightarrow p \in P \cap g$

• Betr. Gerade g durch p parallel zu x -Achse

• Berechne hierar. Darst.

• Berechne Schnittpunkte

• Schau ob $p_x \in [a_x, b_x]$

\Rightarrow Zeit: $O(1) + O(n) + O(\log n) + O(1) = O(n)$!

2) Hierar. Darstellung auch im \mathbb{R}^3 möglich, ab. für konvexe Polyeder. (dazu später mehr...).

2.3 Weiteres Problem auf konvexen Polygonen: Schnitt von zwei konvexen Polygonen.

2.3.1 Ziel: Geg: zwei konvexe Polygone P, Q

Test ob $P \cap Q \neq \emptyset$

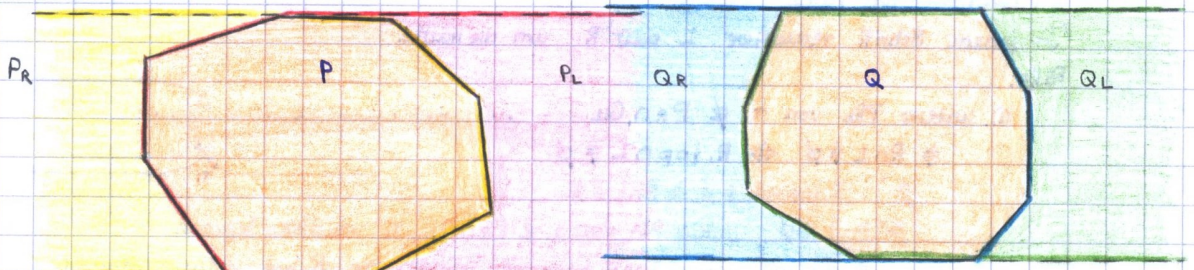
Anm. Wir wissen schon, wie man $P \cap Q$ in Zeit $O(n)$ berechnet, wobei $n =$ Gesamtzahl der Ecken.

2.3.2 Idee:

1) Betrachte ein einfacheres Problem: Test, ob sich zwei polygonale Ketten schneiden.

• Zerlege P in linken (P_L) & rechten (P_R) Rand durch Zerschneiden an Extrempunkten gemäß y_x -Sortierung der Ecken.

• Erweitere durch entsprechende horizontale Strahlen.



Beobachtung: $P \cap Q \neq \emptyset \Leftrightarrow P \cap Q \cap R \neq \emptyset \wedge P \cap R \cap Q \neq \emptyset$

Beweis: $P \cap Q \neq \emptyset \Rightarrow P \cap R \cap Q \neq \emptyset \wedge P \cap R \cap Q \neq \emptyset$ klar.

Für P mit $P \cap R \cap Q \neq \emptyset \Leftrightarrow P \cap Q \neq \emptyset$
(hierbei gilt auch $P \cap R \cap Q \neq \emptyset$)

Für Q mit $Q \cap R \cap P \neq \emptyset \Leftrightarrow P \cap Q \neq \emptyset$
(hierbei gilt auch $Q \cap R \cap P \neq \emptyset$)

\Rightarrow Falls $P \cap R \cap Q \neq \emptyset \wedge P \cap R \cap Q \neq \emptyset \Rightarrow P \cap Q \neq \emptyset$

2). Lösung des einfacheren Problems:

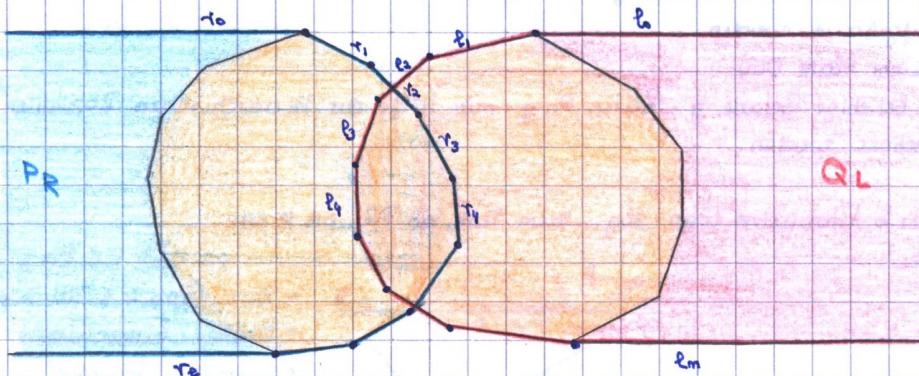
Bea: Wir wissen nicht, ob P links und Q rechtes Polygon oder umgekehrt.

Idee: Test, ob $L \cap R \neq \emptyset$ in Zeit $O(\log n)$, wobei $R = r_0 \dots r_k$ gegeben durch die Segmente im Uhrzeigersinn (r_0, r_k Strahlen) und $L = l_0 \dots l_m$ analog gg. Uhrzeigersinn. R nach links offen, L nach rechts offen.

Sei $i := \lfloor \frac{m}{2} \rfloor, j := \lfloor \frac{k}{2} \rfloor$

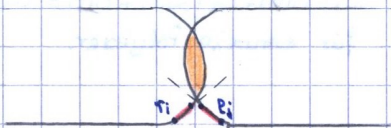
Betrachte nun die mittleren Segmente r_i und l_j .

Fallunterscheidung gemäß der Lage von l_j und r_i auf Geraden R_i und L_j .



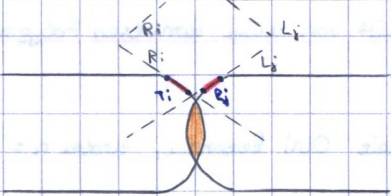
Es gibt nun mehrere Fälle:

1)



$\leftarrow P \cap R \cap Q$ oberhalb von den unteren Endpunkten von r_i und l_j

2)



$\leftarrow P \cap R \cap Q$ unterhalb von den oberen Endpunkten von r_i und l_j

3)



\leftarrow Endpunkte von r_i und $l_j \in P \cap R \cap Q$
(Bea: Hierbei müssen sich die Polygone nicht notw. schneiden!)

Wir betrachten hier Fall 1

In jedem Schritt reduziere L oder R um die Hälfte.

Fälle:

a) unterer Pkt von $r_i \notin P \cap R \cap Q$

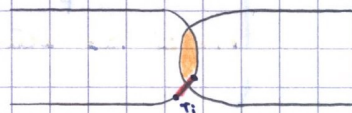
$\Rightarrow R \cap L \neq \emptyset \Leftrightarrow R_{\text{top}} \cap L \neq \emptyset$

\Leftarrow " : $R_{\text{top}} \cap L \neq \emptyset \Rightarrow R \cap L \neq \emptyset$

\Rightarrow " $P \cap L \neq \emptyset$, unterer Pkt von $r_i \notin P \cap R \cap Q$, r_i mittleres Segment

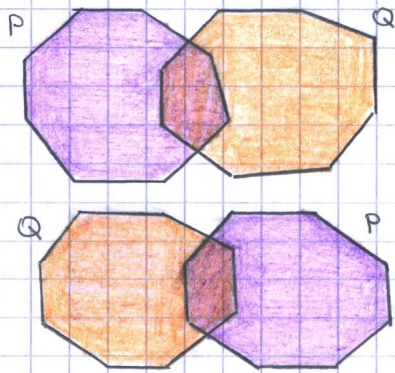
\Rightarrow da wir uns im Fall 1 befinden, können wir R_{bot} tauschschneiden.

$\Rightarrow R_{\text{top}} \cap L \neq \emptyset$.



Beobachtung: $P \cap Q \neq \emptyset \Leftrightarrow P \cap Q \neq \emptyset \wedge P \cap Q \neq \emptyset$.

Denn:



Hier: $P \cap Q \neq \emptyset \Leftrightarrow P \cap Q \neq \emptyset$

Bea: Man weiß in der Regel nicht, welches Polygon rechts und welches links liegt.

Hier: $P \cap Q \neq \emptyset \Leftrightarrow P \cap Q \neq \emptyset$

\Rightarrow Insgesamt gilt also: falls $P \cap Q \neq \emptyset \wedge P \cap Q \neq \emptyset \Rightarrow P \cap Q \neq \emptyset$
 „ \Leftarrow “ klar
 \Rightarrow die obige Beh.

Lösung des einfacheren Problems:

Idee: Test, ob $L \cap R \neq \emptyset$ in Zeit $O(\log n)$, wobei $R = \{r_0 \dots r_k\}$ und $L = \{l_0 \dots l_m\}$ gegeben durch die Segmente im Uhrzeigersinn (für R) und gegen Uhrzeigersinn (für L).

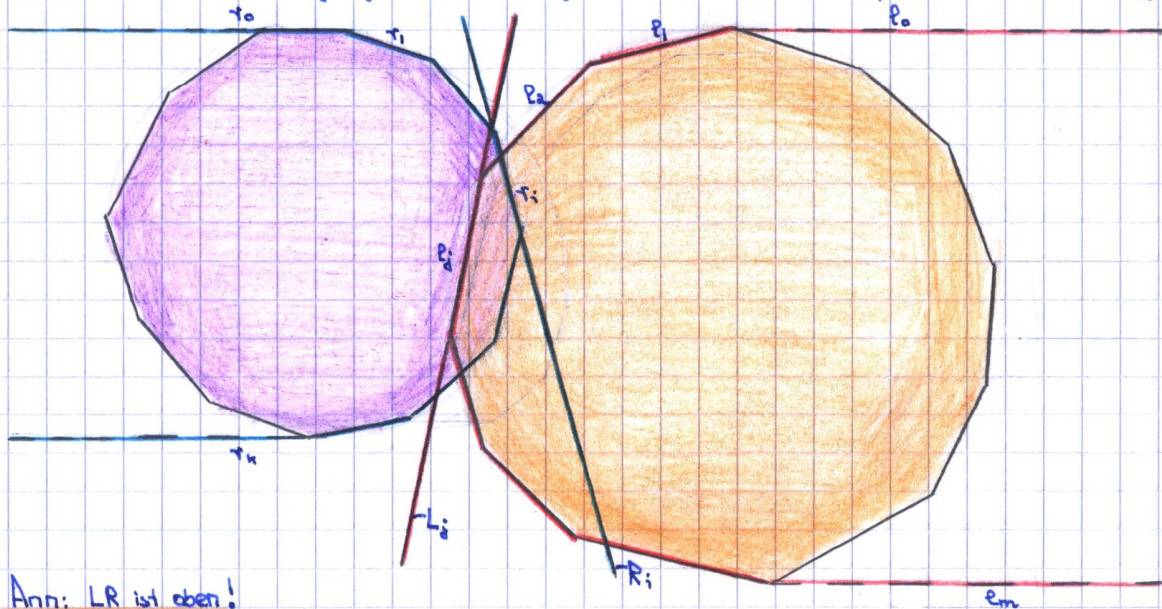
(r_0 und r_k bzw. l_0 und l_m sind Strahlen).

R ist nach links offen und L nach rechts offen.

Sei $i := \lfloor \frac{m}{2} \rfloor$ und $j := \lfloor \frac{k}{2} \rfloor$

Betrachte nun die mittleren Segmente r_i und l_j

Nun: Fallunterscheidung gemäß der Lage von l_j und r_i auf Geraden R_i und L_j :

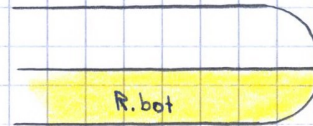
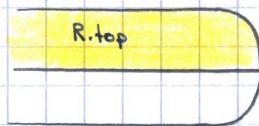


Ann: LR ist oben!

In jedem Schritt reduziere L oder R um die Hälfte.

Fälle:

- a) unterer Pkte von r_i ist nicht in LR
 $\Rightarrow R \cap L \neq \emptyset \Leftrightarrow R \cdot \text{top} \cap L \neq \emptyset$
 wobei:



- b) unterer Pkte von l_j ist nicht in LR.

$\Rightarrow R \cap L \neq \emptyset \Leftrightarrow R \cdot L \cdot \text{top} \neq \emptyset$

- c) beide unteren Pkte sind in LR

ii) falls u_{r_i} unterhalb von u_{l_j}

$\Rightarrow R \cap L \neq \emptyset \Leftrightarrow R \cdot \text{top} \cap L \neq \emptyset$

iii) falls u_{l_j} unterhalb von u_{r_i}

$\Rightarrow R \cap L \neq \emptyset \Leftrightarrow R \cap L \cdot \text{top} \neq \emptyset$

Hierbei: $u_{r_i} \hat{=}$ unterer Endpkte von r_i

$u_{l_j} \hat{=}$ unterer Endpkte von l_j .